

Арктический и антарктический научно-исследовательский институт

МЦД МЛ

Информационные материалы по мониторингу морского ледяного покрова Арктики и Южного Океана на основе данных ледового картирования и пассивного микроволнового зондирования SSMR-SSM/I-SSMIS

29.08-06.09.2011

Контактная информация: лаб. МЦДМЛ ААНИИ, В.М.Смоляницкий,

тел. +7(812)337-3149, эл.почта vms@aari.aq

Характеристика исходного материала и методика расчетов

Для иллюстрации ледовых условий Арктического региона представлены совмещенные региональные карты ААНИИ, Канадской ледовой службы – КЛС и Национального ледового центра США - НЛЦ. Совмещение карт выполнено путем перекрытия слоев (ААНИИ, верхний слой) – (КЛС, средний слой) – (НЛЦ, нижний слой). Как результат, карты ААНИИ характеризуют ледовые условия морей Гренландского...Чукотского, Берингова, Охотского и Балтийского, КЛС - морей Бофорта, Канадского архипелага, Баффина, Девисова пролива, Лабрадор, Св.Лаврентия, а НЛЦ - Арктического Бассейна, Линкольна, южной части Гренландского моря (при этом полный охват карт НЛЦ – вся акватория СЛО и субполярные моря). Для построения совмещенных карт использовался архив данных в формате СИГРИДЗ Мирового центра данных по морскому льду (МЦД МЛ). В пределах отдельного месяца выборка карт из архива проводилась по критериям близости к середине месяца и интервала времени между картами ААНИИ и КЛС-НЛЦ в 1 сутки (день недели выпуска карт ААНИИ – каждая среда, КЛС – каждый вторник, НЛЦ – 1 раз в 2 недели по вторникам). Для цветовой окраски карт использован стандарт ВМО (WMO/Td. 1215) для зимнего (по возрасту) и летнего (по общей сплоченности) периодов. Следует также отметить, что в зонах стыковки карт ААНИИ и КЛС, НЛЦ наблюдается определенная несогласованность границ и характеристик ледовых зон вследствие ряда различий в ледовых информационных системах ААНИИ и КЛС, НЛЦ (КЛС и НЛЦ имеют единую информационную систему в рамках Североамериканкой ледовой службы). Однако, данная несогласованность несущественна для целей интерпретации ледовых условий в рамках настоящего обзора. Исходная информация в формате ВМО СИГРИЗ доступна на сервере МЦД МЛ по адресам <http://wdc.aari.ru/datasets/d0004> (карты ААНИИ), <http://wdc.aari.ru/datasets/d0031> (карты КЛС), <http://wdc.aari.ru/datasets/d0032> (карты НЛЦ). В графическом формате PNG совмещенные карты ААНИИ-КЛС-НЛЦ доступны по адресу <http://wdc.aari.ru/datasets/d0040>.

Для получения оценок ледовитости на основе данных спутниковых систем пассивного микроволнового зондирования SSMR-SSM/I-SSMIS в МЦД МЛ ААНИИ принята следующая технология расчетов:

- источник данных – архивные (Cavalieri et al., 2008, Meier et al., 2006) и квазиоперативные (Maslanik and Stroeve, 1999) с задержкой 1-2 дня ежедневные матрицы (поля распределения) оценок общей сплоченности Северной (севернее 45° с.ш.) и Южной (южнее 50° с.ш.) по алгоритму NASATEAM за период с 26.10.1978 г. по настоящий момент времени, копируемые с сервера НЦДСЛ;

- область расчета – Северная и Южная Полярные области и их регионы с использованием масок океан/суша НЦДСЛ (http://nsidc.org/data/polar_stereo/tools_masks.html) и региональных масок ААНИИ;
- вычислительные особенности расчета – авторское программное обеспечение ААНИИ с сохранением точности расчетов и оценке статистических параметров по гистограмме распределения

Результаты расчетов ледовитости Северной, Южной полярных областей и их регионов доступны также на сервере МЦД МЛ ААНИИ (<http://wdc.aari.ru/datasets/ssmi/data/>).

Cavalieri, D., C. Parkinson, P. Gloersen, and H. J. Zwally. 1996, updated 2008. *Sea Ice Concentrations from Nimbus-7 SMMR and DMSP SSM/I Passive Microwave Data*, [1978.10.26 – 2007.12.31]. Boulder, Colorado USA: National Snow and Ice Data Center. Digital media.

Meier, W., F. Fetterer, K. Knowles, M. Savoie, M. J. Brodzik. 2006, updated quarterly. *Sea Ice Concentrations from Nimbus-7 SMMR and DMSP SSM/I Passive Microwave Data*, [2008.01.01 – 2008.03.25]. Boulder, Colorado USA: National Snow and Ice Data Center. Digital media.

Maslanik, J., and J. Stroeve. 1999, updated daily. *Near-Real-Time DMSP SSM/I-SSMIS Daily Polar Gridded Sea Ice Concentrations*, [2008.03.26 – 2011.04.09]. Boulder, Colorado USA: National Snow and Ice Data Center. Digital media.

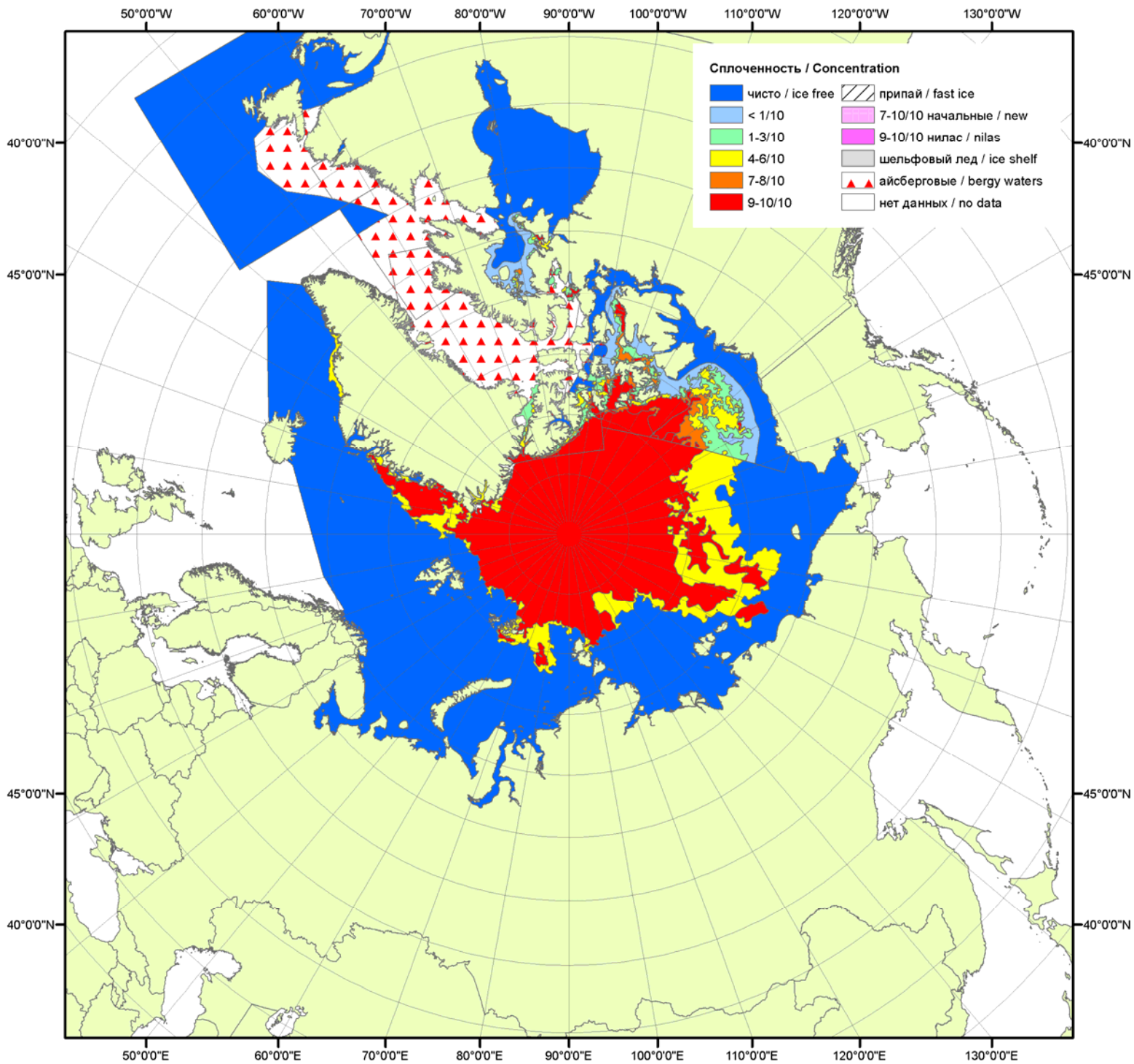


Рисунок 1а – Обзорная ледовая карта СЛО за 29.08 – 06.09.2011 г. на основе ледового анализа ААНИИ (06.09.2011) и Канадской ледовой службы (29.08.2011), архив МЦДМЛ

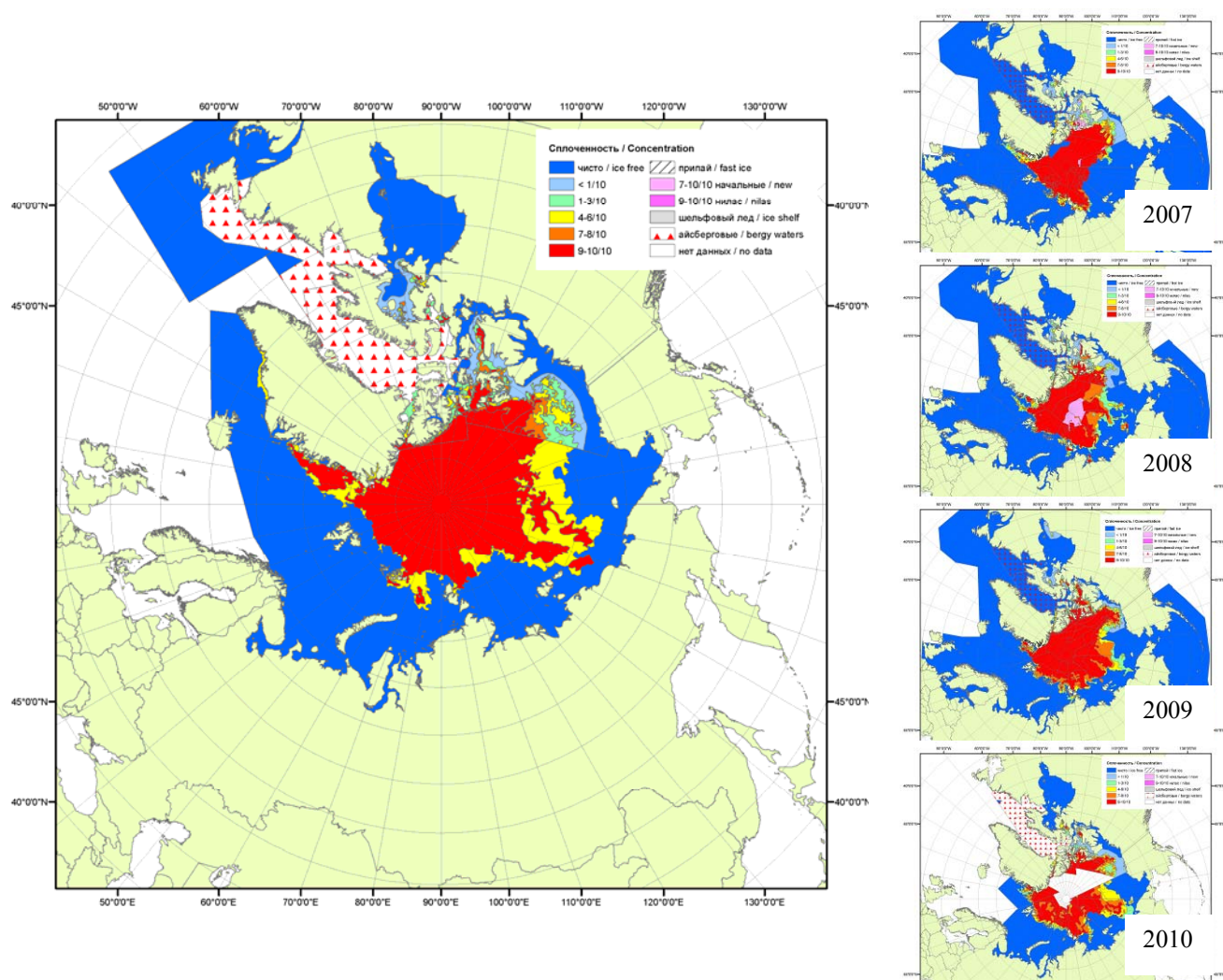


Рисунок 16 – Обзорная ледовая карта СЛО за 29.08 – 06.09.2011 г. и аналогичные периоды 2007-2010 гг. на основе ледового анализа ААНИИ, Канадской ледовой службы и Еационального ледового центра США, архив МЦДМЛ

Таблица 1 - Медианные значения ледовитости за август и начало сентября 2011 г. и её аномалии от 2007-2010 гг. и интервалов 2001-2011 гг. и 1979-2011 гг. по данным наблюдений SSMR-SSM/I-SSM/IS, алгоритм NASATEAM

Северная полярная область

Месяц	S, тыс. км ²	Аномалии, тыс. км ²					
		2007 г.	2008 г.	2009 г.	2010 г.	2001-2011 гг.	1979-2011 гг.
01-31.08	5556.2	184.4	-467.1	-609.2	-361.6	-801.0	-1685.2
29.08 – 02.09	4640.7	56.0	-356.8	-734.4	-545.5	-981.8	-1906.7

Сектор 45°W-95°E (Гренландское – Карское моря)

Месяц	S, тыс. км ²	Аномалии, тыс. км ²					
		2007 г.	2008 г.	2009 г.	2010 г.	2001-2011 гг.	1979-2011 гг.
01-31.08	1417.0	-104.7	-67.2	-81.3	121.6	-31.5	-289.6
29.08 – 02.09	1243.3	-180.4	-100.0	-168.7	-38.4	-87.7	-292.2

Сектор 95°E-170°W (моря Лаптевых – Чукотское, Берингово, Охотское)

Месяц	S, тыс. км ²	Аномалии, тыс. км ²					
		2007 г.	2008 г.	2009 г.	2010 г.	2001-2011 гг.	1979-2011 гг.
01-31.08	1746.0	500.5	-458.9	-159.8	-341.6	-327.1	-670.4
29.08 – 02.09	1386.7	479.6	-239.7	-189.6	-354.4	-369.5	-785.7

Сектор 170°W-45°W (море Бофорта и Канадская Арктика)

Месяц	S, тыс. км ²	Аномалии, тыс. км ²					
		2007 г.	2008 г.	2009 г.	2010 г.	2001-2011 гг.	1979-2011 гг.
01-31.08	2393.2	-211.4	59.0	-368.1	-141.6	-442.5	-725.2
29.08 – 02.09	2010.7	-243.3	-17.1	-376.1	-152.6	-524.7	-828.7

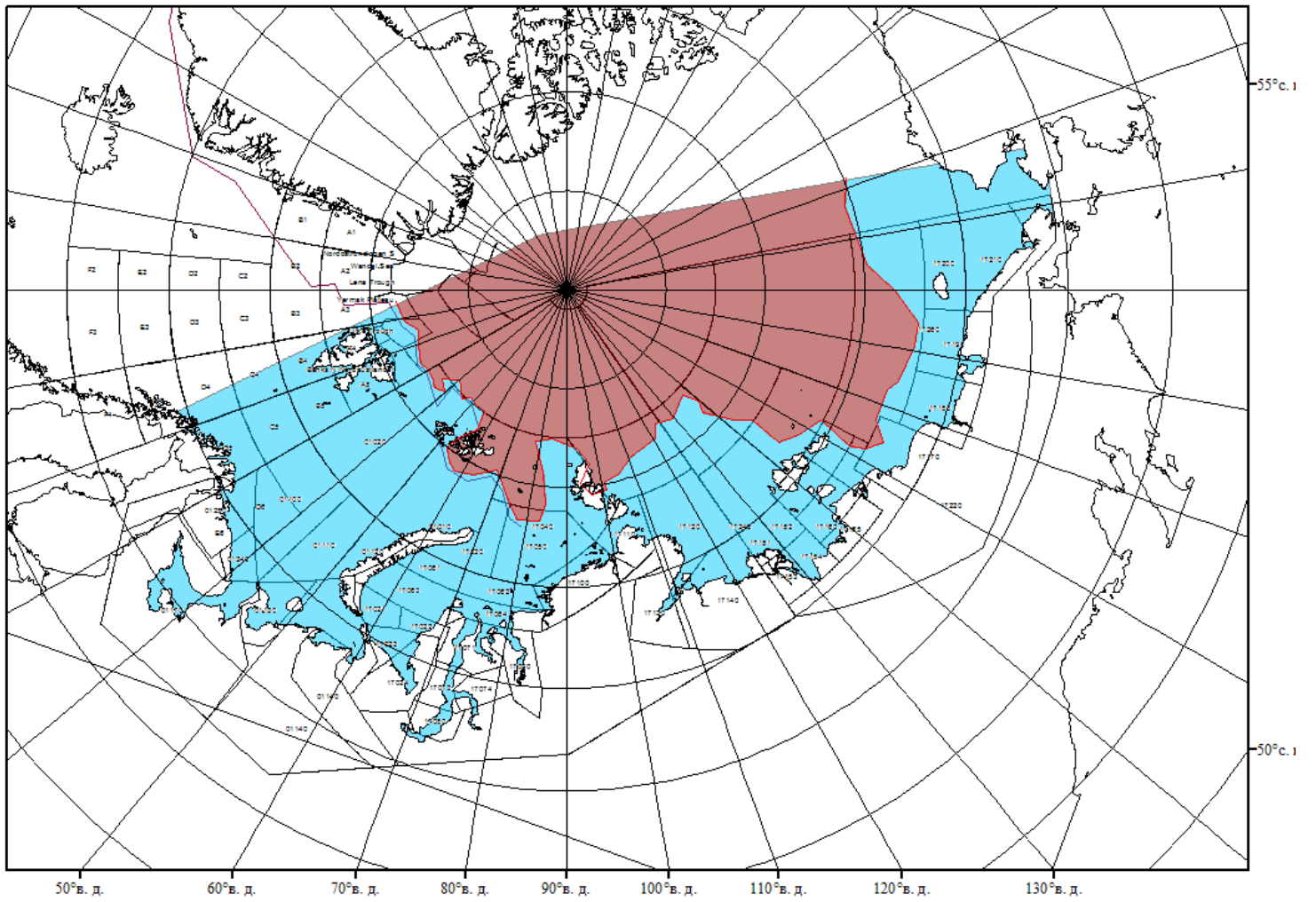


Рисунок 2 – Положение кромки льда (районов безледокольного плавания) в МЕТЗОНах XX-XXI на 06.09.2011 1200UTC.

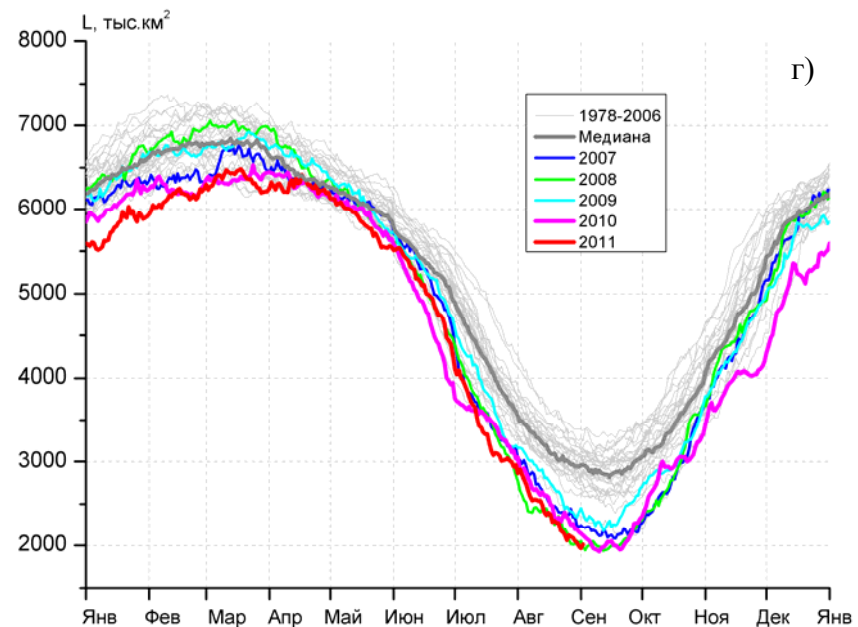
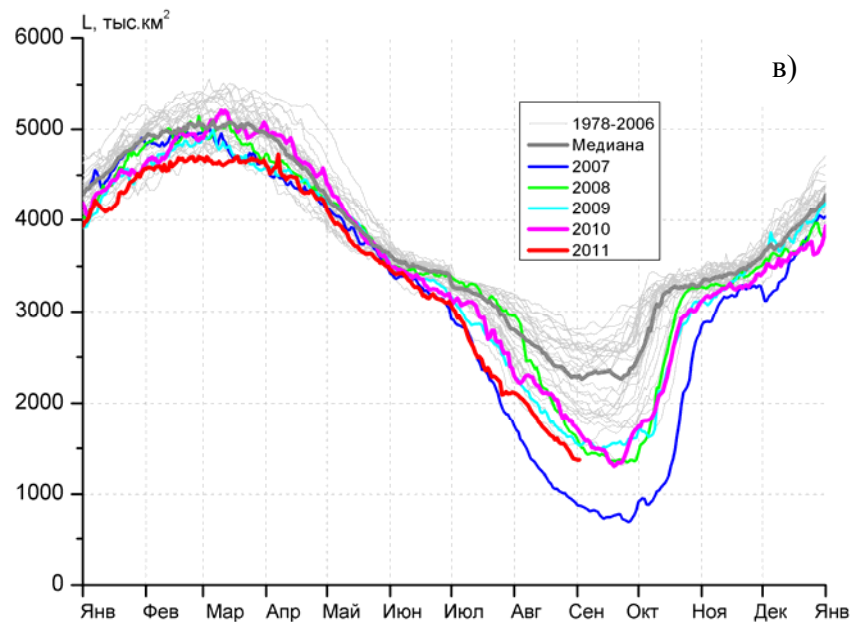
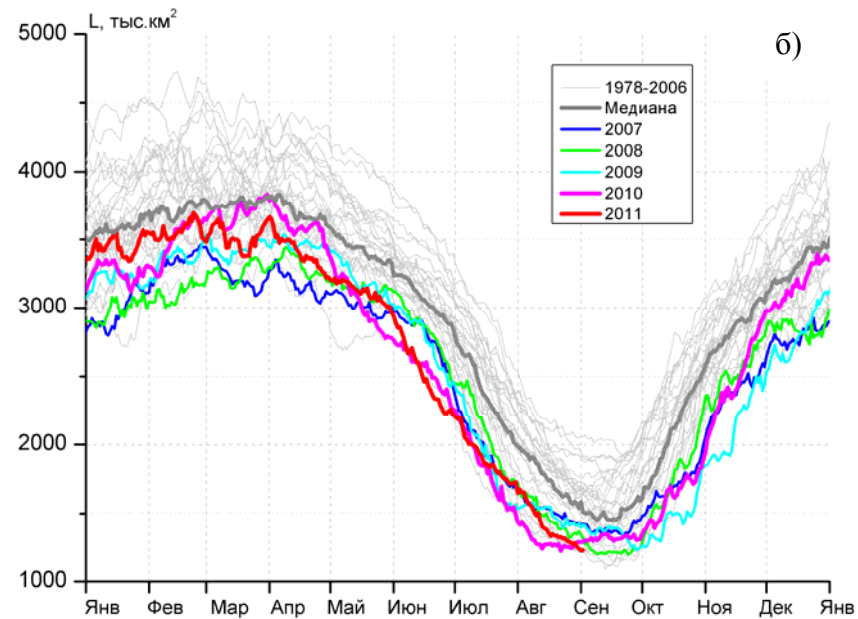
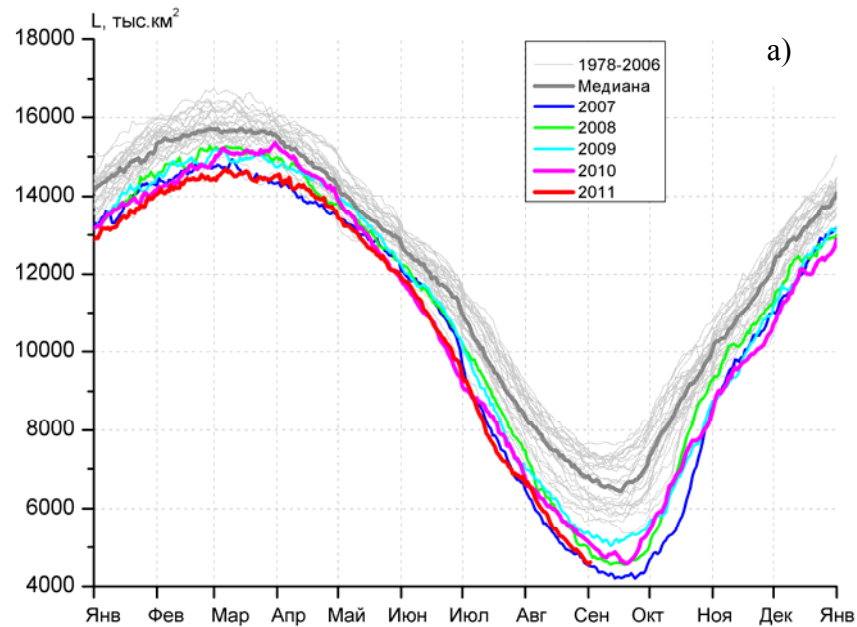


Рисунок 3 – Ежедневные оценки сезонного хода ледовитости для Северной Полярной Области и трех меридиональных секторов за период с 26.10.1978 по 02.09.2011 по годам на основе расчетов по данным SSMR-SSM/I-SSMIS, алгоритм NASATEAM: а) Северная полярная область, б) сектор 45°W-95°E (Гренландское – Карское моря), в) сектор 95°E-170°W (моря Лаптевых – Чукотское и Берингово, Охотское), г) сектор 170°W-45°W (море Бофорта и Канадская Арктика).

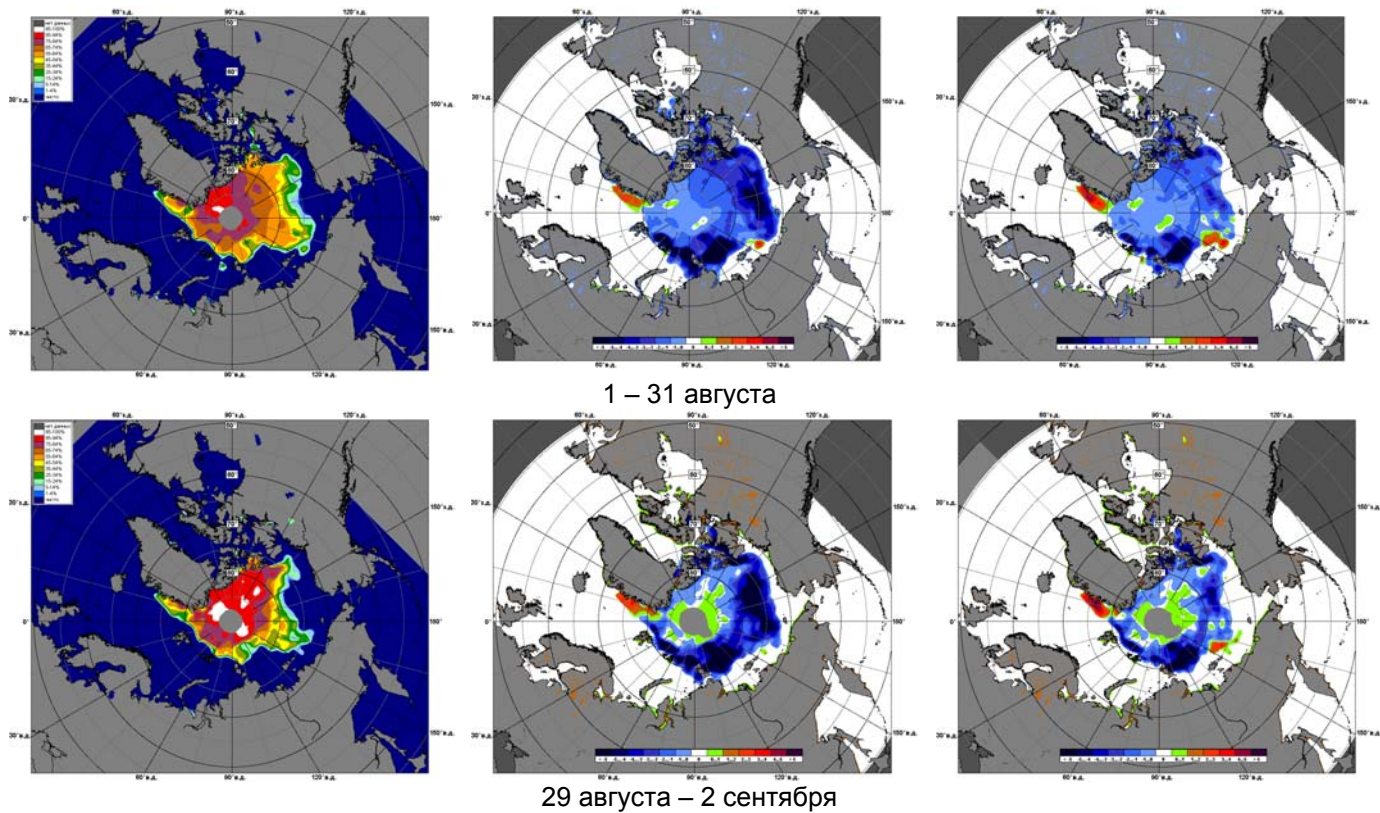


Рисунок 4 – Медианные распределения сплоченности льда за периоды 1-31 августа и 29 августа – 2 сентября 2011 г. (слева) и её разности относительно медианного распределения за те же месяца за периоды 1979-2011 (центр) и 2001-2011 гг. (справа) на основе расчетов по данным SSMR-SSM/I-SSMIS, алгоритм NASATEAM.

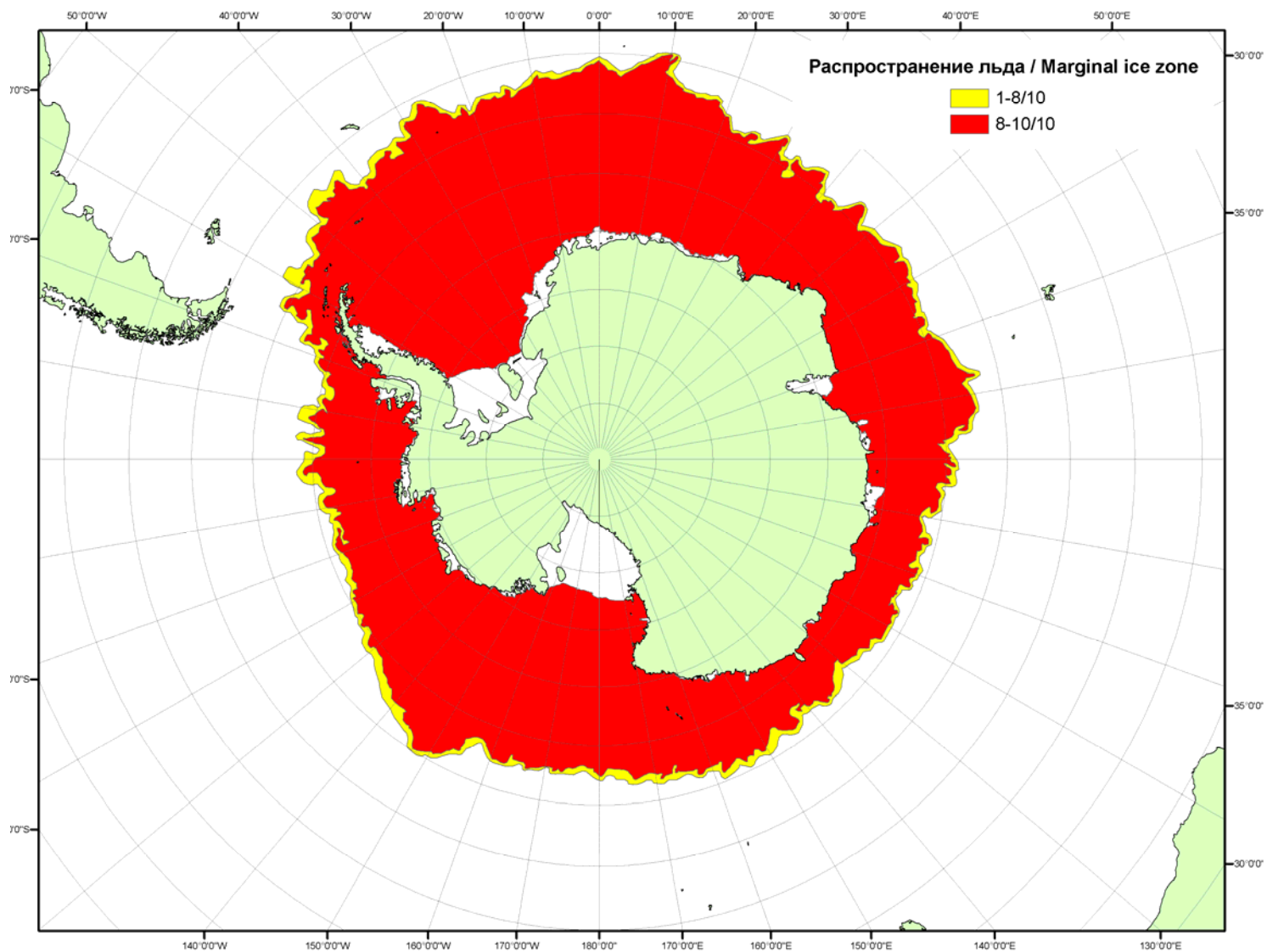


Рисунок 5 – Положение кромки льда и сплоченных льдов Южного Океана за 05.09.2011 г. на основе ледового анализа Национального Ледового Центра США (архив МЦДМЛ)

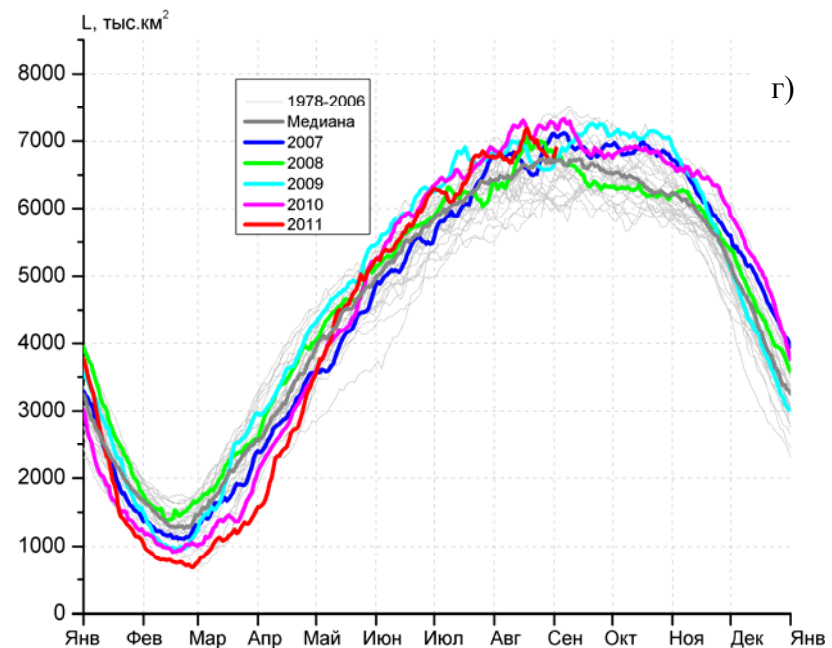
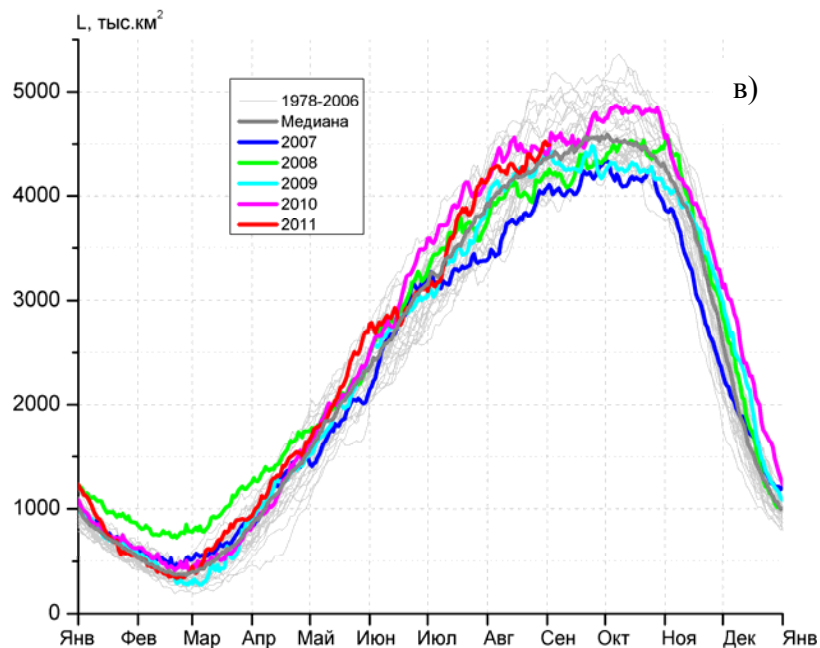
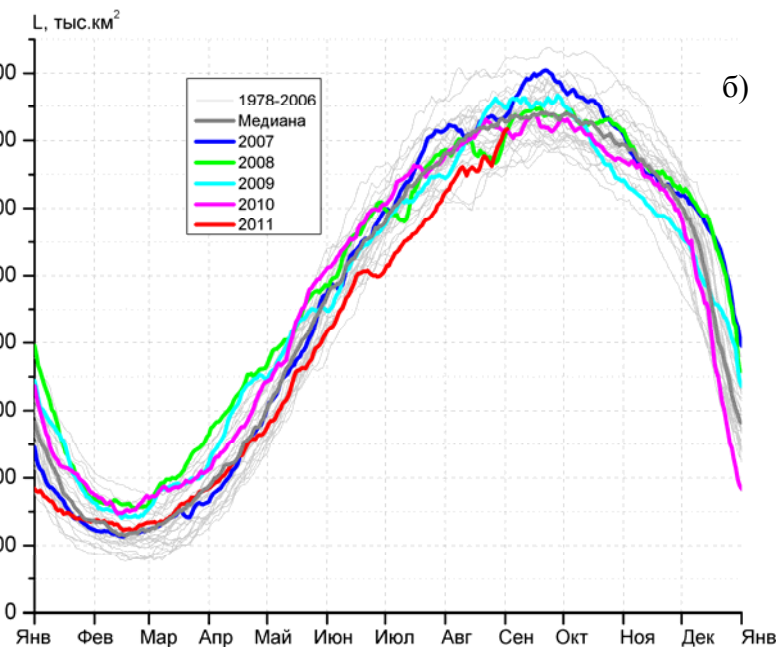
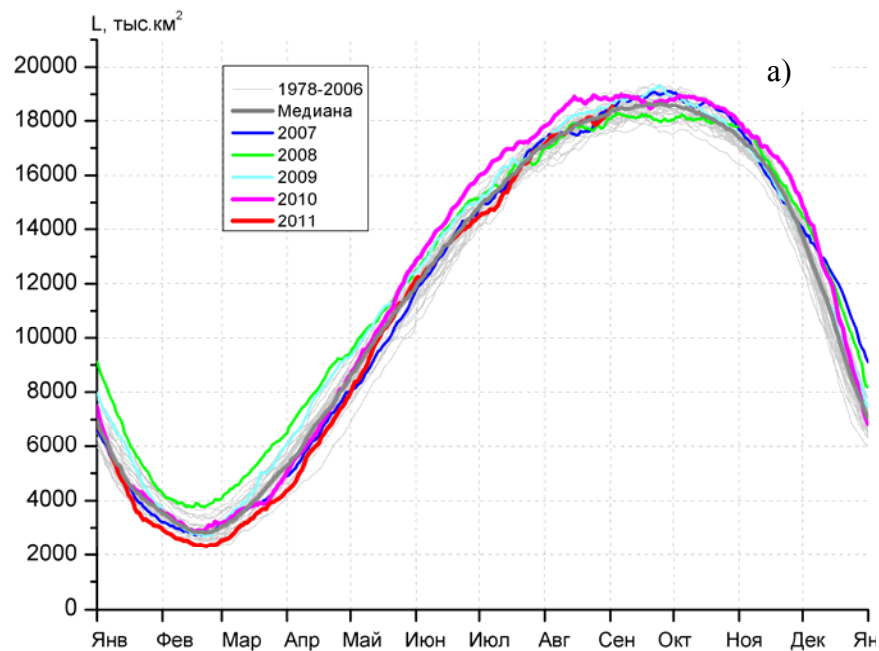


Рисунок 6 – Ежедневные оценки сезонного хода ледовитости: для Южного Океана и трех меридиональных секторов за период с 26.10.1978 по 02.09.2011 по годам на основе расчетов по данным SSMR-SSM/I-SSMIS, алгоритм NASATEAM: а) Южный Океан, б) Атлантический сектор (60°W-30°E, море Уэдделла), в) Индоокеанский сектор (30°E-150°E, моря Космонавтов, Содружества, Моусона), г) Тихоокеанский сектор (150°E-60°W, моря Росса, Беллинсгаузена)

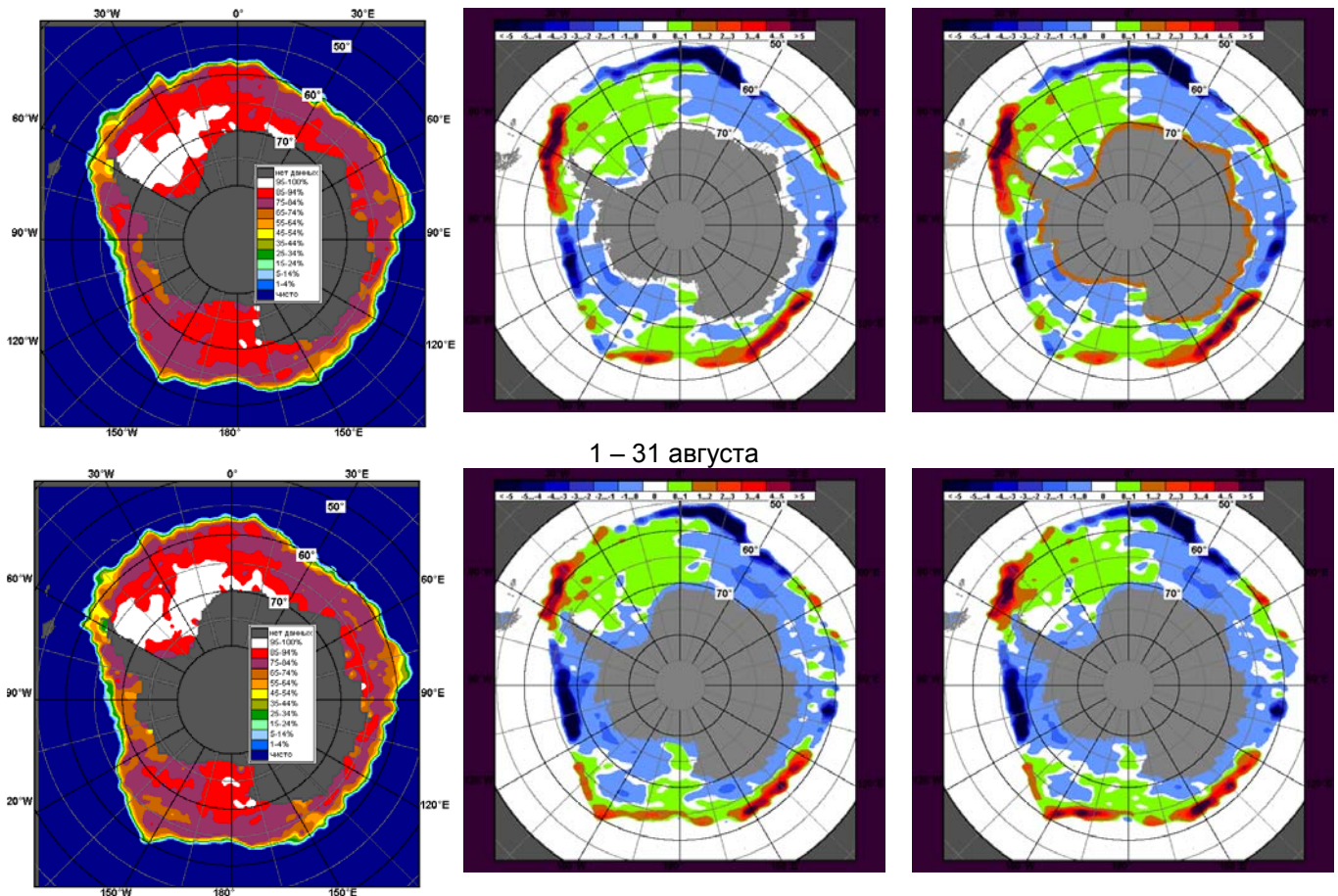


Рисунок 7 – Медианные распределения общей сплоченности льда за периоды 1-31 августа и 29 августа – 2 сентября 2011 г. (слева) и её разности относительно медианного распределения за тот же месяц за периоды 1979-2011 (центр) и 2001-2011 гг. (справа) на основе расчетов по данным SSMR-SSM/I-SSMIS, алгоритм NASATEAM.